

Electrons in a crystal

در بخش‌های قبلی رفتار یک الکترون در پتانسیل یک اتم یا بلور را بررسی کردیم. این الکترون در بیشتر موارد یک الکترون والانس است.

در 1 cm^3 از یک جامد \leftarrow 10^{22} الکترون والانس وجود دارد.

- چگونگی توزیع این الکترون‌ها در ترازهای انرژی؟

- غیرممکن بودن محاسبه‌ی مکان و انرژی جنبشی دقیق هر الکترون منفرد

بیان مفهوم احتمال نتایج با معنای در نظر دارد.

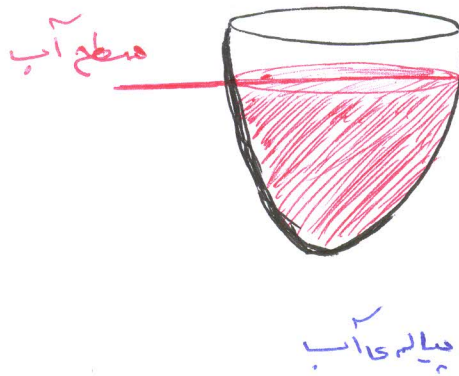
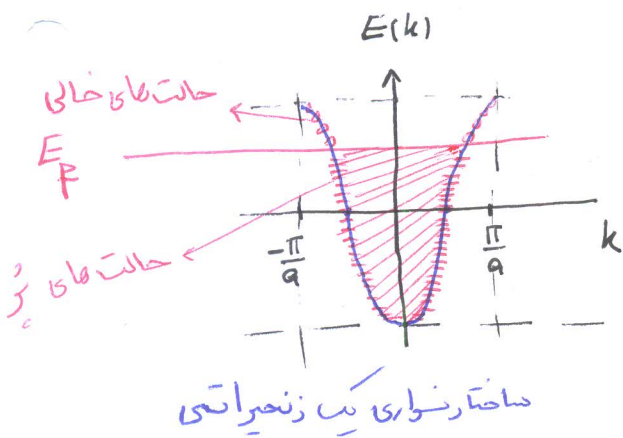
6-1 انرژی فرمی و سطح فرمی

6.1 Fermi Energy and Fermi Surface

نقش مهمی در خواص اتمی،
الکترونی و مغناطیسی مواد دارد.

موقعیت انرژی فرمی E_F در
ساختار نواری

E_F ← بالاترین انرژی که الکترون ها در $T=0K$ دارند.



E_F ← انرژی ای است که همه حالت های کمترین انرژی، پر هستند.
(در دمای صفر کلوین) ← انرژی فرمی

مقادیر انرژی فرمی برخی مواد در پیوست چهار کتاب لیست شده است.

مقادیر نوعی E_F ← ۲ تا ۱۲ الکترون ولت.

سیستم های 1D	←	انرژی فرمی
سیستم های 2D	←	سطح فرمی (دایره فرمی)
سیستم های 3D	←	روی فرمی (گوه فرمی)

6.2 Fermi Distribution Function

توزیع انرژی تعداد زیادی ذره و تفسیرات آن با دما را با استفاده از ملاحظات آماری می‌توان محاسبه کرد.

انرژی جنبشی گاز الکترونی از آمار فرمی - دیراک پیروی می‌کنند.

احتمال اشغال یک تراز انرژی توسط الکترون‌ها با تابع فرمی به دست می‌آید.

Fermi function
تابع فرمی

$$F(E) = \frac{1}{1 + \exp\left(\frac{E - E_F}{k_B T}\right)} \quad (6.1)$$

ثابت بولتزمن k_B

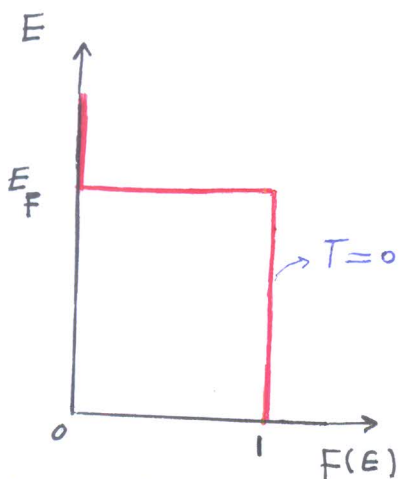
دمای مطلق T

در $E = E_F$

$$F(E) = \frac{1}{2}$$

تراز انرژی E کاملاً با الکترون‌ها اشغال شده است. $F(E) = 1$

تراز انرژی E خالی است. $F(E) = 0$



$T \rightarrow 0$
 $E > E_F \rightarrow F(E) = \frac{1}{1 + e^{+\infty}} = 0$

$T \rightarrow 0$
 $E < E_F \rightarrow F(E) = \frac{1}{1 + e^{-\infty}} = 1$

در دمای $T=0$ ترازهای با انرژی کمتر از انرژی فرمی کاملاً پر و ترازهای با انرژی بیشتر از انرژی فرمی کاملاً خالی هستند.

Figure 6.1. Fermi distribution function, $F(E)$, versus energy, E , for $T=0$.

(for $E > E_F$ and $T \rightarrow 0 \Rightarrow F(E) \rightarrow 0$)

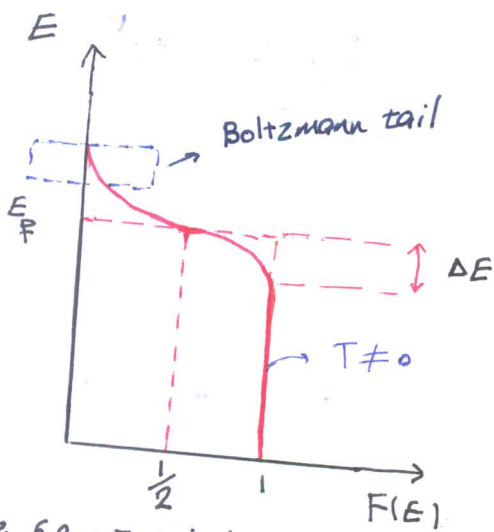


Figure 6.2. Fermi distribution function for $T \neq 0$

تابع توزیع فرمی در دماهای $T \neq 0$ در شکل 6.2 نشان داده شده است.

$F(E)$ در دمای $T=0$ در E_F ناگهان بصورت پله‌ای صفر می‌شود.

اما $F(E)$ در دمای $T \neq 0$ در E_F به آرامی صفر می‌شود.

در واقع تابع توزیع فرمی $F(E)$ حول E_F به اندازه‌ی $2\Delta E$ پهن می‌شود (smear out)

ΔE نشان داده شده در شکل اغراق آمیز است.

ΔE در دمای اتاق حدود ۱ درصد E_F است.

- تابع توزیع فرمی در انرژی‌های بالا ($E \gg E_F$) (در شکل نشان داده شده است)

تابع توزیع کلاسیکی
بولتزمن

تابع توزیع فرمی در انرژی‌های بالا
 $E \gg E_F$

$$F(E) = \frac{1}{1 + \exp\left(\frac{E - E_F}{k_B T}\right)} \xrightarrow{E \gg E_F} \exp\left(-\frac{E - E_F}{k_B T}\right)$$

از اینجا (!) در مقابل $\exp\left(\frac{E - E_F}{k_B T}\right)$ می‌توان صرف نظر کرد.

$$F(E) \approx \exp\left[-\frac{E - E_F}{k_B T}\right]$$

در منطقه نشان داده شده در شکل که به Boltzmann tail مشهور است.

تابع توزیع فرمی را می‌توان با تابع توزیع بولتزمن تقریب زد.

چگونگی توزیع ترازهای انرژی؟

برای توضیح این مفهوم از مثال ذره در جعبه استفاده می‌کنیم:

از حل معادله‌ی شرودینگر رابطی انرژی به صورت زیر به دست می‌آید

$$E_n = \frac{\pi^2 \hbar^2}{2ma^2} (n_x^2 + n_y^2 + n_z^2) \quad (6.2)$$

a : طول اضلاع

n_x, n_y & n_z : اعداد کوانتوم اصلی: principal quantum numbers

به ازای اعداد کوانتومی مختلف، حالت‌های انرژی کوانتیده E_n به دست می‌آید.

هر حالت انرژی را می‌توان به صورت نقطه‌ای در فضای اعداد کوانتومی نشان داد.

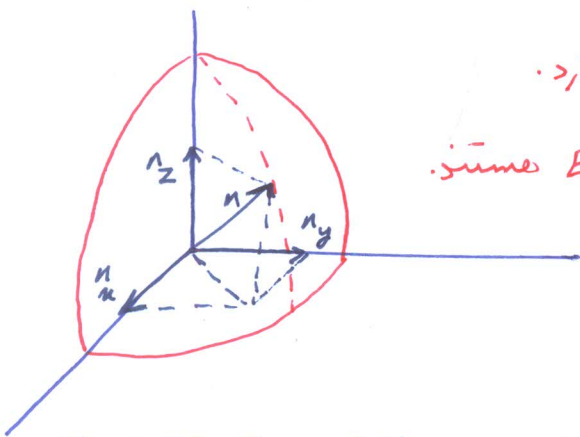
(شکل 6.3 quantum number space)

در این فضا (چهارپهلو مربع) n شعاع نسبت به مبدأ است. داریم

$$n^2 = n_x^2 + n_y^2 + n_z^2 \quad (6.3) \quad \leftarrow \text{رابطه‌ی کوه‌ای به شعاع } n$$

مقادیر یکسان E_n روی کوه‌ای به شعاع n قرار دارد.

همه‌ی نقاط داخل کوه دارای انرژی‌های کمتر از E_n هستند.



$$\begin{pmatrix} n_x \\ n_y \\ n_z \end{pmatrix} : \left(\begin{pmatrix} 1 \\ 1 \\ 2 \end{pmatrix}, \begin{pmatrix} 1 \\ 2 \\ 1 \end{pmatrix}, \begin{pmatrix} 2 \\ 1 \\ 1 \end{pmatrix} \right) \rightarrow n = \sqrt{6}$$

Figure 6.3. Representation of an energy state in quantum number space.

تعداد حالت های کوانتومی η ، با انرژی بستراز E_n متناسب است با حجم کره .

مستقیم بودن اعداد کوانتومی n_x, n_y, n_z ← امکان تعیین مقادیر n فقط در $\frac{1}{8}$ مستقیم کره .

$$\eta = \frac{1}{8} \times \text{حجم کره} = \frac{1}{8} \cdot \frac{4}{3} \pi n^3$$

$$E_n = \frac{\pi^2 \hbar^2}{2m a^2} n^2 \rightarrow n = \left(\frac{2m a^2 E_n}{\pi^2 \hbar^2} \right)^{\frac{1}{2}}$$

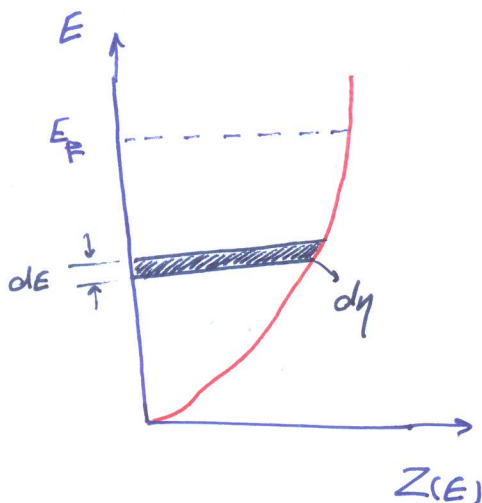
$$\eta = \frac{\pi}{6} \left(\frac{2m a^2}{\pi^2 \hbar^2} \right)^{\frac{3}{2}} E_n^{\frac{3}{2}} \quad (6.4)$$

مستقیم η نسبت به انرژی ، تعداد حالات انرژی بر واحد انرژی (dE) دانسیته می دهد . در واقع خطی حالات تعیین می شود .

Density of states $Z(E) = \frac{d\eta}{dE}$

$$\frac{d\eta}{dE} = Z(E) = \frac{\pi}{4} \left(\frac{2m a^2}{\pi^2 \hbar^2} \right)^{\frac{3}{2}} E^{\frac{1}{2}} = A E^{\frac{1}{2}} \quad (6.5)$$

$= \frac{V}{4\pi^2} \left(\frac{2m}{\hbar^2} \right)^{\frac{3}{2}} E^{\frac{1}{2}}$



هرچه به سمت بالا حرکت کنیم تراکم ترازهای انرژی بیشتر می شود .

این خطی حالات برای سیستم های 3D معتبر است برای سیستم های 1D, 2D و 0D شکل آن فرق می کند .

Fig. 6.4. Density of states $Z(E)$ within a band

$$d\eta = Z(E) \cdot dE \quad (6.6)$$

6.4. Complete Density of States Function within a Band

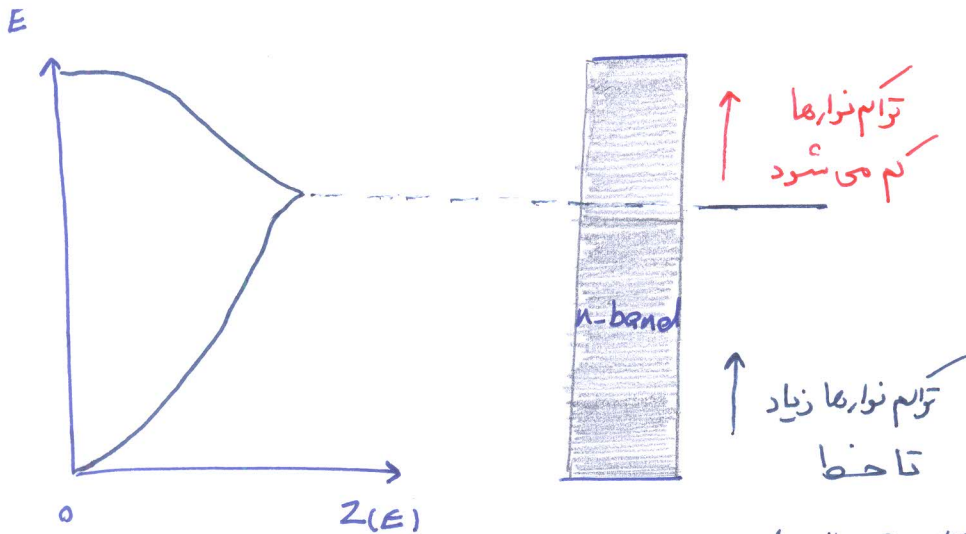
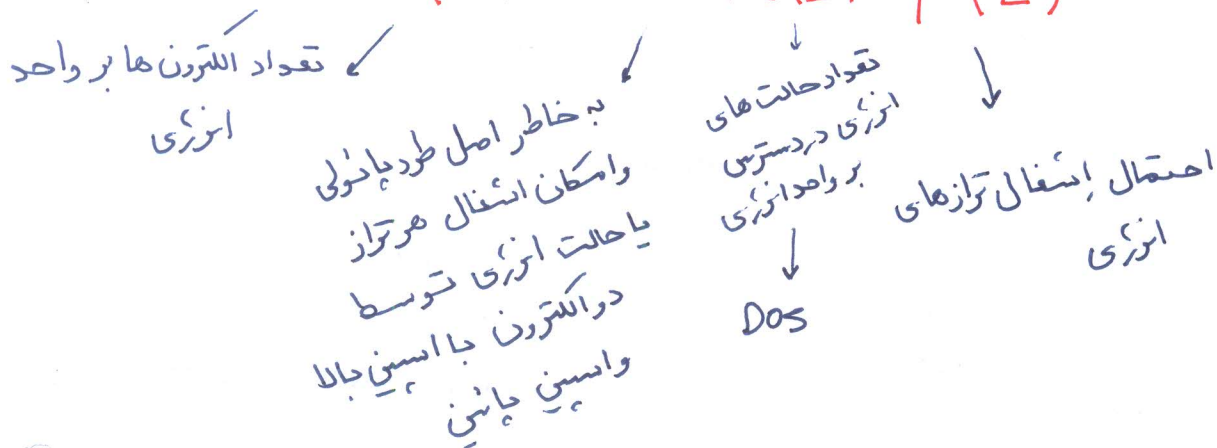


Fig. 6.5. schematic representation of the complete density of states function within band.

در مبحث قبلی دیدیم که الکترون آزاد درجه E بر حسب $Z(E)$ بصورت سهمی بود. ولی در یک بلور شکل $Z(E)$ می تواند شکل های پیچیده تری داشته باشد و شکل یا ساختار نواری در منطقه اول بریلوئن تعیین کننده است.

6.5. Population Density

$$N(E) = 2 \cdot Z(E) \cdot F(E) \quad (6.7)$$

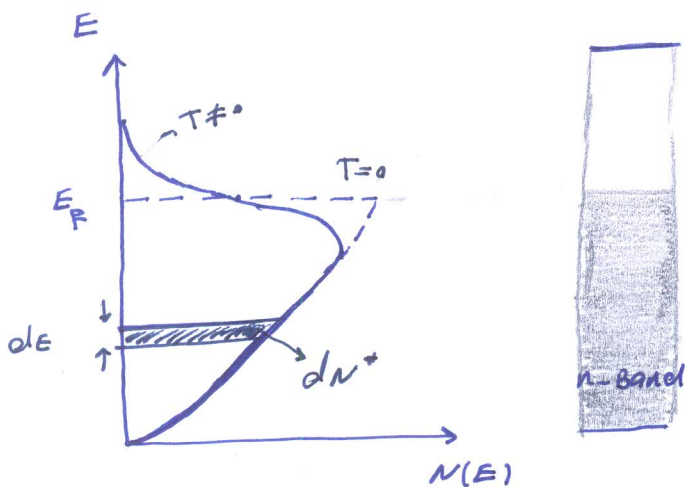


$$(6.1) \ \& \ (6.5) \ \rightarrow \ N(E) = \frac{V}{2\pi^2} \left(\frac{2m}{\hbar^2} \right)^{3/2} E^{1/2} \frac{1}{1 + \exp\left(\frac{E - E_F}{k_B T}\right)} \quad (6.8)$$

$N(E)$: چگالی جمعیت الکترون (electron) population density

a) $T \rightarrow 0 \ \& \ E < E_F \xrightarrow{F(E)=1} N(E) = 2 \cdot Z(E)$

b) $T \neq 0 \ \& \ E \simeq E_F \xrightarrow{\text{شکل 6.6}} N(E)$



مساحت زیر منحنی $N(E)$ بر حسب E ، تعداد الکترونهای N^* با انرژی کمتر یا مساوی E_n را نشان می‌دهد. برای بازه‌ی انرژی E و $E+dE$ داریم

$$dn^* = N(E) dE. \quad (6.9)$$

Figure 6.6. Population density $N(E)$ within a band for free electrons.

dn^* is the number of electrons in the energy interval dE .

الآن در موقعیتی هستیم که با استفاده از (6.8) و (6.9) می‌توانیم انرژی فرمی را حساب کنیم.

برای سادگی حالت $T \rightarrow 0$ و $E < E_F$ را به یادمان $F(E) = 1$ است و در نظر می‌گیریم. داریم:

$$N^* = \int_0^{E_F} N(E) dE = \int_0^{E_F} \frac{V}{2\pi^2} \left(\frac{2m}{\hbar^2} \right)^{3/2} E^{1/2} dE$$

$$N^* = \frac{V}{3\pi^2} \left(\frac{2m}{\hbar^2} \right)^{3/2} E_F^{3/2} \quad (6.10)$$

$$E_F = \left(3\pi^2 \frac{N^*}{V} \right)^{2/3} \frac{\hbar^2}{2m} \quad (6.11)$$

$\frac{N^*}{V} = n'$ number of electrons per unit volume

$$E_F = \left(3\pi^2 n' \right)^{2/3} \frac{\hbar^2}{2m} \quad 6.11a$$

در نظر گرفتنی $T \neq 0$ منجر به نتیجه‌ی جابجایی می‌شود چرا که تعداد الکترون‌ها با اعمال دما تغییر نمی‌کند.

6.6 Consequences of the Band Model

اصل طرد پائولی ← $2N$ الکترون برای N حالت
 هر حالت 2 الکترون

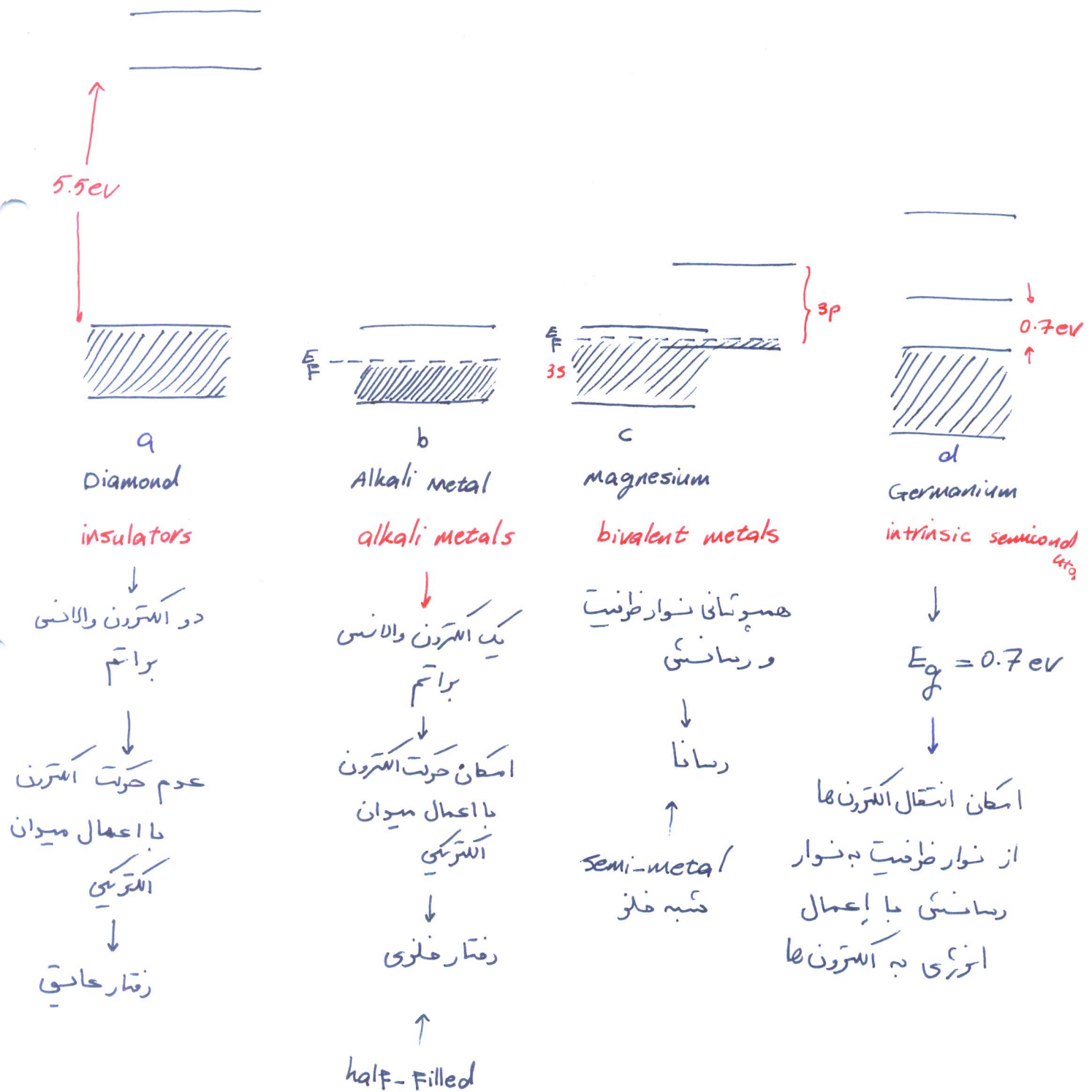


Fig 6.7. Simplified representation for energy bands for a) insulators b) alkali metals c) bivalent metals, and d) intrinsic semiconductors.

6.7. Effective Mass

در قسمت های قبلی جرم الکترون در بلور و در حالت آزاد یک مقدار یکسان در نظر گرفته شد، در حالی که چنین نیست. آزمایشات تجربی نشان می دهد که جرم الکترون در بلور که به آن جرم موثر می گویند مقداری بیشتر یا کمتر از جرم الکترون آزاد است.

m^* جرم موثر
 m_0 جرم الکترون آزاد

نسبت $\frac{m^*}{m_0}$ (بیوست 4)

چرا جرم الکترون در بلور و حالت آزاد فوق می کند؟

به علت برهم کنش الکترون با اتم های بلور

در واقع ما اثر این برهم کنش ها را بصورت جرم موثر تعبیر می کنیم.

(به این معنا که به الکترون جرم اضافه یا کم نمی شود)

تلاش خواهیم کرد تا عبارتی برای جرم موثر بیابیم. جدیدی منظور

نسب الکترون در یک میدان الکتریکی از دو طریق کلاسیکی و کوانتومی

را به دست می آوریم. ابتدا عبارتی برای سرعت الکترونی در نوار انرژی

می نویسیم.

$$v_g = \frac{d\omega}{dk} = \frac{d(2\pi\nu)}{dk} = \frac{1}{h} \frac{dE}{dk} \quad (6.12)$$

سرعت گروه ← v_g ← سرعت پستی موج

فرکانس زاویه ای

عدد موج

$|k| = \frac{2\pi}{\lambda}$

نسب نمودار $E(k) \propto$ مستوی E نسبت به k در $v_g \propto$ حالت منظور

مخاسبی تناسب :

$$a = \frac{dv_g}{dt} = \frac{1}{\hbar} \left(\frac{d^2 E}{dk^2} \right) \frac{dk}{dt} \quad (6.13)$$

از $E(k)$ می دانیم

$$\frac{dp}{dt} = \hbar \frac{dk}{dt} \quad (6.14)$$

$$a = \frac{1}{\hbar^2} \frac{d^2 E}{dk^2} \frac{dp}{dt} = \frac{1}{\hbar^2} \cdot \frac{d^2 E}{dk^2} \cdot \frac{d(mv)}{dt} = \frac{1}{\hbar^2} \frac{d^2 E}{dk^2} F, \quad (6.15)$$

$$a = \frac{F}{m} = \frac{1}{m} \cdot F \quad (6.16)$$

$$m^* = \hbar^2 \left(\frac{d^2 E}{dk^2} \right)^{-1} \quad (6.17)$$

جرم موثر متناسب با عکس انحنای نوار الکترون است.

کامپی جرم موثر

= درصد جرم m_0

نقاط با انحنای بالا در
نوار انرژی مثل مرکز یا
مرز منطقه اول بریلوئن

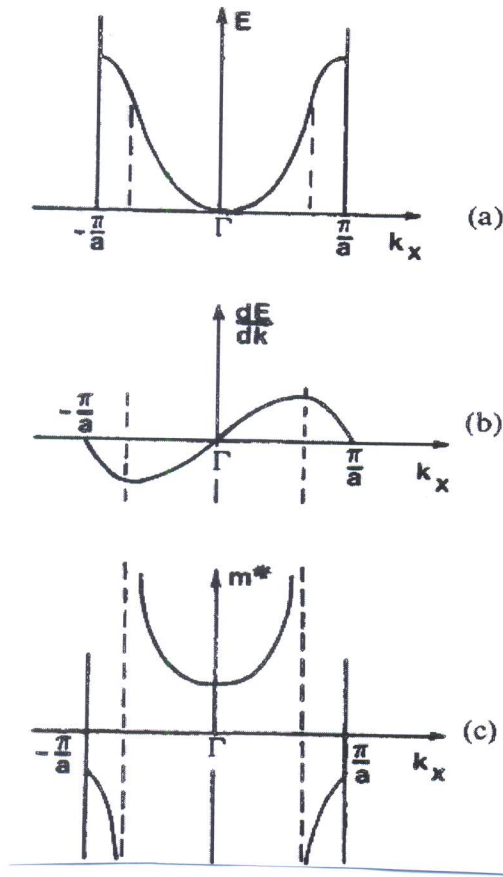


Figure 6.8. (a) simple band structure, as shown in Fig 5.4. (b) First derivative and (c) inverse function of the second derivative of the curve shown in (a).

شکل 6.8c ← جرم موثر الکترون‌ها در مرکز منطقه‌ی اول بریلوئن کوچک و مثبت است و با دور شدن از مرکز منطقه‌ی اول بریلوئن افزایش می‌یابد.

در قسمت بالایی نوار ~~تقریباً~~ فرق می‌کند و جرم موثر الکترون منفی است.

جرم موثر منفی به معنی حرکت ذرات در جهت عکس است.

الکترون با جرم موثر منفی defect electron یا electron hole نامیده می‌شود.

hole یا حفره را به جای ذره‌ای با بار منفی و جرم مؤثر منفی

شبه ذره‌ای با جرم مؤثر مثبت و بار مثبت معرفی می‌کنیم.

hole : positive effective mass and positive charge

حفره‌ها در بلورهایی که نوار ظرفیت تقریباً پر دارند، نفس معنی جازی می‌کنند. (مثل نیم رساناها)

حاصل‌مات دارای خواص مختلف در جهت‌های مختلف (ناهمسانگردی)

جرم‌های m^* متفاوتی در هر جهت دارند. anisotropy

در این حالت‌ها جرم مؤثر m^* به صورت تانسور نمایش داده می‌شود.

زوج الکترون - حفره، اکسیژون "exciton" نامیده می‌شود.

حفره معادل پوزیترون (positron) نیست.

پوزیترون یک ذره‌ای زیراتمی است که بار مثبت دارد.

پوزیترون در β -decay گسیل می‌یابند و در تاجی‌های کیهانی می‌توان آن را یافت.
cosmic radiation

وقتی الکترون‌ها و پوزیترون‌ها برهم‌کنش می‌کنند همدر خابود می‌شوند و انرژی گسیل می‌شود.